

#### (4) 予測方法

##### 1) 長期平均値

###### ア 予測手法

長期平均値の予測手順は図 4.1-7 に示すとおりとした。

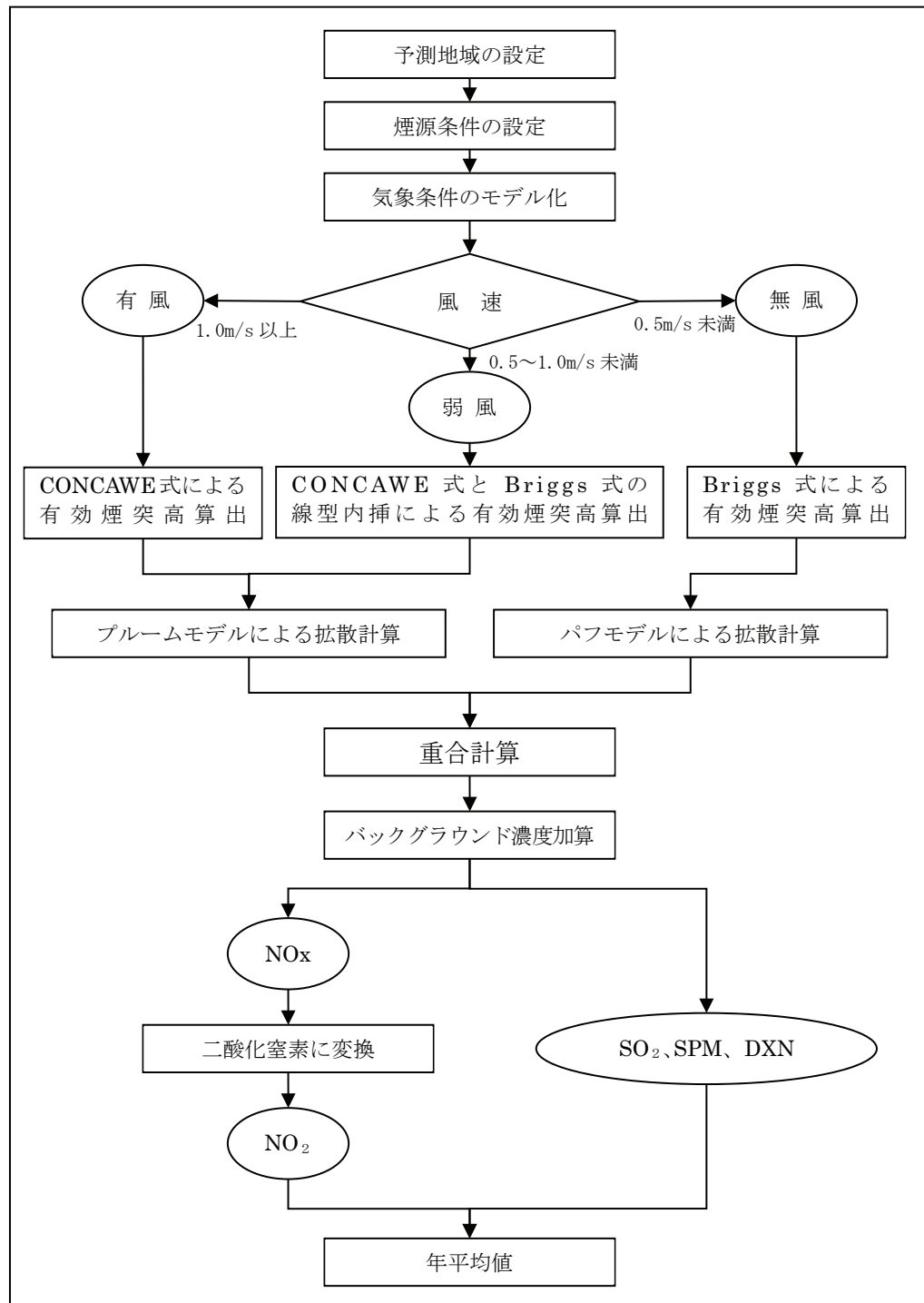


図 4.1-7 煙突排ガスの排出（長期平均値）の予測手順

## イ 予測基本式

予測基本式は以下を用いた。

### ① 大気拡散式

有風時 ( $U \geq 1.0 \text{m/s}$ ) 及び弱風時 ( $0.5 \text{m/s} \leq U < 1.0 \text{m/s}$ ) においては正規拡散プルームモデル、無風時 ( $U < 0.5 \text{m/s}$ ) においてはパuffモデルを採用した。

なお、拡散計算に用いる煙の拡散幅は、図 4.1-8、表 4.1-15、表 4.1-16 のとおり設定した。

表 4.1-13 予測式一覧

予測条件	上昇式	予測式
有風時 ( $u \geq 1.0 \text{m/s}$ )	CONCAWE 式	plume 式
弱風時 ( $1.0 \text{m/s} > u > 0.4 \text{m/s}$ )	CONCAWE 式と Briggs 式の内挿	弱風 puff 式
無風時 ( $u \leq 0.4 \text{m/s}$ )	Briggs 式	無風 puff 式

表 4.1-14 予測式及びパラメータ

plume 式	有風時 ( $u \geq 1.0 \text{m/s}$ )	$C(R, z) = \sqrt{\frac{1}{2\pi}} \cdot \frac{Q}{\pi R \sigma_z u} \cdot \left[ \exp\left\{-\frac{(z-He)^2}{2\sigma_z^2}\right\} + \exp\left\{-\frac{(z+He)^2}{2\sigma_z^2}\right\} \right]$														
puff 式	弱風時・無風時 ( $u < 1.0 \text{m/s}$ )	$C(R, z) = \frac{Q}{(2\pi)^{3/2} \gamma} \left\{ \frac{1}{R^2 + \frac{\alpha^2}{\gamma^2} (He-z)^2} + \frac{1}{R^2 + \frac{\alpha^2}{\gamma^2} (He+z)^2} \right\}$														
上空風の推定	煙突上部の風速	$u = U_o (H/H_o)^p$														
項目の凡例	<p><math>C(R, z)</math> : <math>(R, z)</math> 地点における濃度[ppm または <math>\text{mg/m}^3</math>]  <math>R</math> : 点煙源と計算点の水平距離[m]  <math>z</math> : <math>x</math>軸に直角な鉛直距離[m]  <math>Q</math> : 排出強度 [<math>\text{m}^3/\text{s}</math> または <math>\text{kg/s}</math>]  <math>u</math> : 風速 [m/s]  <math>He</math> : 有効煙突高 [m]  <math>\sigma_z</math> : 鉛直方向の拡散幅 [m] (<math>\sigma_z(x) = \gamma_z \cdot x^{\alpha_z}</math>)  <math>(\gamma_z, \alpha_z)</math> : パスカル・ギフォード線図から求めるパラメータ。表4.1-15参照)  <math>\alpha</math> : 無風における拡散パラメータ (表4.1-16参照)  <math>U_o</math> : 観測高さの風速 [m/s]  <math>H</math> : 煙突高さ [=59m]  <math>H_o</math> : 観測高さ [=地上10m (現地調査における測定高さ)]  <math>P</math> : べき指数</p> <table border="1" style="margin-left: auto; margin-right: auto;"> <tr> <td>大気安定度</td> <td>A</td> <td>B</td> <td>C</td> <td>D</td> <td>E</td> <td>F、G</td> </tr> <tr> <td>P</td> <td>0.1</td> <td>0.15</td> <td>0.20</td> <td>0.25</td> <td>0.25</td> <td>0.30</td> </tr> </table>		大気安定度	A	B	C	D	E	F、G	P	0.1	0.15	0.20	0.25	0.25	0.30
大気安定度	A	B	C	D	E	F、G										
P	0.1	0.15	0.20	0.25	0.25	0.30										

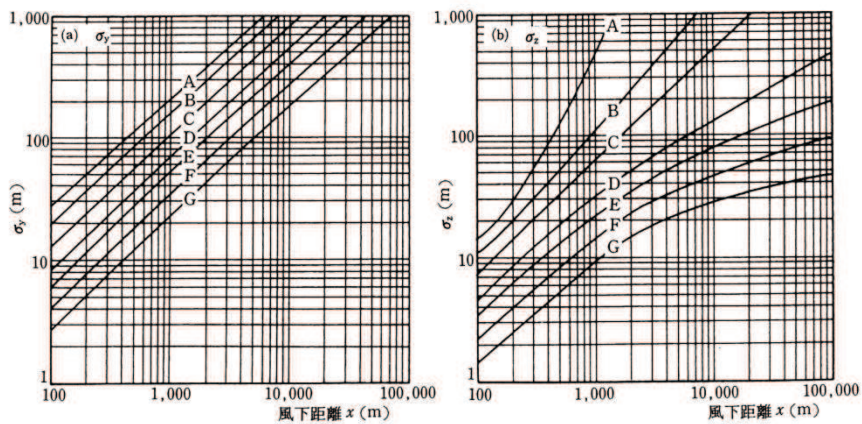


図 4.1-8 パスカル・ギフォード線図

表 4.1-15 パスカル・ギフォード線図の近似式

$\sigma_y (\chi) = \gamma_y \cdot \chi^{\alpha_y}$			
安定度	$\alpha_y$	$\gamma_y$	風下距離 $\chi$ (m)
A	0.901	0.426	0~1,000
	0.851	0.602	1,000~
B	0.914	0.282	0~1,000
	0.865	0.396	1,000~
C	0.924	0.1772	0~1,000
	0.885	0.232	1,000~
D	0.929	0.1107	0~1,000
	0.889	0.1467	1,000~
E	0.921	0.0864	0~1,000
	0.897	0.1019	1,000~
F	0.929	0.0554	0~1,000
	0.889	0.0733	1,000~
G	0.921	0.0380	0~1,000
	0.896	0.0452	1,000~

$\sigma_z (\chi) = \gamma_z \cdot \chi^{\alpha_z}$			
安定度	$\alpha_z$	$\gamma_z$	風下距離 $\chi$ (m)
A	1.122	0.0800	0~ 300
	1.514	0.00855	300~ 500
	2.109	0.000212	500~
B	0.964	0.1272	0~ 500
	1.094	0.0570	500~
C	0.918	0.1068	0~
D	0.826	0.1046	0~ 1,000
	0.632	0.400	1,000~10,000
	0.555	0.811	10,000~
E	0.788	0.0928	0~ 1,000
	0.565	0.433	1,000~10,000
	0.415	1.732	10,000~
F	0.784	0.0621	0~ 1,000
	0.526	0.370	1,000~10,000
	0.323	2.41	10,000~
G	0.794	0.0373	0~ 1,000
	0.637	0.1105	1,000~ 2,000
	0.431	0.529	2,000~10,000
	0.277	3.62	10,000~

表 4.1-16 無風時における拡散パラメータ

安 定 度	$\alpha$	$\beta$
A	0.948	1.569
A - B	0.859	0.862
B	0.781	0.474
B - C	0.702	0.314
C	0.635	0.208
C - D	0.542	0.153
D	0.470	0.113
E	0.439	0.067
F	0.439	0.048
G	0.439	0.029

## ② 有効煙突高の算出式

有効煙突高 ( $H_e$ ) は、実煙突高 ( $H_0$ ) に排出ガス上昇高さ分 ( $\Delta H$ ) を加えたものであります、次式で表される。

$$H_e = H_0 + \Delta H$$

なお、 $\Delta H$  は有風時、弱風時、無風時に分類したうえで、表 4.1-17 の式を用いて求めます。

表 4.1-17 排出ガス上昇分  $\Delta H$  の算定式

有風時 ( $u \geq 1.0 \text{m/s}$ )	CONCAWE 式	$\Delta H = 0.175 \cdot Q_H^{1/2} \cdot u^{-3/4}$
弱風時 ( $1.0 \text{m/s} > u > 0.4 \text{m/s}$ )	CONCAWE 式と Briggs 式の内挿	$\Delta H = (\Delta H_c - \Delta H_b) / 2 \cdot u + \Delta H_b$
無風時 ( $u \leq 0.4 \text{m/s}$ )	Briggs 式	$\Delta H = 1.4 \cdot Q_H^{1/4} \cdot (d\theta/dz)^{-3/8}$
項目の凡例	$\Delta H$ : 排出ガス上昇高 [m] $(\Delta H_c$ : Briggs式での上昇率、 $\Delta H_b$ : CONCAWE式での上昇率) $Q_H$ : 排出熱量 [cal/s] ( $= p \cdot Q \cdot C_p \cdot \Delta T$ ) $p$ : 0 °Cにおける排出ガス密度 [ $1.293 \times 10^3 \text{g/m}^3$ ] $C_p$ : 定圧比熱 [0.24cal/K/g] $Q$ : 単位時間当たりの排出ガス量 [ $\text{m}^3/\text{s}$ ] $\Delta T$ : 排出ガス温度と気温との温度差 [°C] ※気温は、むつ特別気象観測所の 2018 年の年平均値の 10.2°C を用いた。 $u$ : 煙突頭頂部における風速 [m/s] $d\theta/dz$ : 溫位勾配 [昼間0.003°C/m、夜間0.010°C/m]	

## ウ 予測条件

### ① 排出諸元

施設の煙源条件は、表 4.1-18 に示すとおりである。

なお、予測計算にあたっては次の前提とした。

- I. 大気汚染物質の排出濃度について、硫黄酸化物はすべて二酸化硫黄と、ばいじんはすべて浮遊粒子状物質とみなした。
- II. 施設の稼働日数は、年間280日の計画であるが、予測にあたっては、年間365日稼働するものとした。
- III. 排出ガス量について、予測には「最大ガス量」を用いた。

表 4.1-18 煙源の排出諸元値

項目	単位	計画値
煙突高さ	m	GL+59.0
排出口径（換算口径）	mm $\phi$	500
各炉の寸法 (幅×奥行き×高さ)	m	$2.4 \times 2.1 \times 10$
湿り排ガス量	$m^3N/hr$	13,600/1 炉 (2 炉)
乾き排ガス量	$m^3N/hr$	11,600/1 炉 (2 炉)
排ガス温度	°C	155
排ガス吐出速度	m/s	25.8
排ガス酸素濃度	%	7.5
排出濃度	ppm	20
硫黄酸化物	ppm	80
窒素酸化物	g/ $m^3N$	0.01
ばいじん	ppm (mg/ $m^3N$ )	50 (81)
塩化水素	ng-TEQ/ $m^3N$	0.05
ダイオキシン類	ng-TEQ/ $m^3N$	

### ② 気象条件

#### A. 風向・風速

風向・風速のデータは、計画地で測定した四季の現地調査の結果を用いた。

なお、風向は 16 方位、風速は表 4.1-19 に示す風速階級区分に基づいて無風時（風速 0.5m/s 未満）、弱風時（風速 0.5m/s 以上 1.0m/s 未満）及び有風時（風速 1.0m/s 以上）に分類した。

表 4.1-19 風速階級区分

区分	風速範囲
無風時	0.5 m/s 未満
弱風時	0.5m/s 以上 1.0 m/s 未満
有風時	1.0m/s 以上 2.0 m/s 未満
	2.0m/s 以上 3.0 m/s 未満
	3.0m/s 以上 4.0 m/s 未満
	4.0m/s 以上 6.0 m/s 未満
	6.0m/s 以上